



T.			U_f	I_f	U_a	U_g	I_a	S	R_i	μ	R_k	I_k	P_a	$U_{f/k}$
			V	A	V	V	mA	mA/V	k Ω	V/V	Ω	mA	W	V
ECC 31	Mul	1	6,3	0,95	250 300	-4,6	6 maximum	2,3	14	32		50	5	50
ECC 32	Mul	2	6,3	0,95										
13 D 3	Bri	3	6,3/12,6	0,6/0,3										
ECC 33	Mul	2	6,3	0,4	250 300	-4	9 maximum	3,6	9,7	35		20	2,5	100
ECC 40	eur	4	6,3	0,6	250 300		6 maximum	2,9	11	32	920	10	1,5	100
E 80 CC ¹⁾	eur	3	6,3/12,6	0,6/0,3	250 300		6 maximum	2,7	10	27	920	12	2	120
6 H 1 II	CCCP	5	6,3	0,6	250 300		8 maximum	3,2	11	35	600	25	2	250
6 H 5 II	CCCP	5	6,3	0,6	200 200		8 maximum	3,5	7,7	27	600	25	2	250

T.		$C_{g/k+f}$	$C_{a/k+f}$	$C_{g/a}$	$C_{a/a}^{I,II}$	$C_{g/f}$	$C_{k/f}$	$C_{g/l}^{I,II}$	$C_{a/l}^{I,II}$	$C_{a/l}^{I,I}$	
		pF	pF	pF	pF	pF	pF	pF	pF	pF	
ECC 31	I triod.	4	1,9	3,4							
	II triod.	4	1	3,7	1						
ECC 32	I-II triod.	4,3	2	4,3	0,8						
ECC 33	I-II triod.	3,5	1,2	2,5	0,75						
ECC 40	I triod.	2,8	1,1	2,7		0,1	3				vide * 6
	II triod.	2,6	0,7	2,8	0,8	0,1	3	0,1	0,1	0,1	
E 80 CC	I triod.	2,6	3,5	3,6		0,23	4,8				vide * 5
	II triod.	2,6	3	3	1,3	0,23	4,8	0,013	0,1	0,065	
	I triod.	2,4	0,45	3,1		0,23	4,8				
	II triod.	2,4	0,55	3	1,45	0,23	4,8	0,013	0,1	0,065	
6 H 1 II	I-II triod.	3,8	1,75	1,85	0,05						
6 H 5 II	I triod.	3	1,5	2,25							
	II triod.	3	1,7	2,25	0,2						
13 D 3	I-II triod.	2,3	0,95	2,1	1						

Equivalents

AA 61	Maz = ECC 40
ECC 87	Sim = E 80 CC
6085	Phi = E 80 CC
6158 ²⁾	Bri = 13 D 3

ECC 40 Fig. 6

U_b	I_a	μ	U	h
V	mA	U/U_g	V	%
250	3	11,5	30	0,6
300	4,5	12	30	0,4

¹⁾ vide * 4, a, b, c = 10000; $U_f = 6,3 (12,6) V \pm 5\%$; $U_g(\max) = -200 V$; $I_g(\max) = 0,3 mA$; $I_k(\text{impulse} \leq 2 \text{ msec}) = 150 mA$; $I_g(\text{imp}) = 30 mA$

²⁾ vide * 4, a, b, c, f, g

ECC 31 Fig. 1

U_b	R_a	R_g	R_k	I_a	μ	$U_{a\approx}$	h
V	k Ω	k Ω	k Ω	mA	$U_{a\approx}/U_{g\approx}$	V	%
200	47	150	1,2	1,9	19,5	26	3,2
250	47	150	1,2	2,4	19,5	37	3,4
300	47	150	1,2	2,9	20	48	3,5
350	47	150	1,2	3,4	20,5	57	3,6
400	47	150	1,2	3,9	21	67	3,7
200	100	330	2,2	1,0	24	32	2,4
250	100	330	2,2	1,3	24,5	44	2,6
300	100	330	2,2	1,6	24,5	54	2,8
350	100	330	2,2	1,8	25	69	2,9
400	100	330	2,2	2,1	25	81	3,0
200	220	680	3,9	0,55	26,5	34	2,0
250	220	680	3,9	0,7	27	45	2,1
300	220	680	3,9	0,85	27	56	2,2
350	220	680	3,9	0,95	27,5	68	2,2
400	220	680	3,9	1,1	27,5	81	2,3

ECC 33 Fig. 1

U_b	R_a	R_g	R_k	I_a	μ	$U_{a\approx}$	h
V	k Ω	k Ω	k Ω	mA	$U_{a\approx}/U_{g\approx}$	V	%
200	47	150	1,2	2,0	24,5	30,5	5,3
250	47	150	1,2	2,5	25	41	5,6
300	47	150	1,2	3,0	25	50	5,6
350	47	150	1,2	3,5	25	62,5	5,9
400	47	150	1,2	4,0	25,5	74	6,1
200	100	330	2,2	1,0	26,5	32	5,2
250	100	330	2,2	1,3	27	43	5,4
300	100	330	2,2	1,5	27	54,5	5,6
350	100	330	2,2	1,8	27,5	66,5	5,6
400	100	330	2,2	2,0	28	78,5	5,7
200	220	680	3,9	0,5	27	30,5	4,8
250	220	680	3,9	0,7	27,5	41	4,8
300	220	680	3,9	0,8	28	51	5,0
350	220	680	3,9	1	28	63	5,0
400	220	680	3,9	1,1	28	74,5	5,1

E 80 CC Fig. 1

U_b	R_a	R_g	R_k	I_a	μ	$U_{a\approx}$	h
V	k Ω	k Ω	k Ω	mA	$U_{a\approx}/U_{g\approx}$	V	%
200	47	150	1,2	1,86	18,5	20	3,3
250	47	150	1,2	2,45	18,5	30	3,8
300	47	150	1,2	3,15	18,5	40	4,0
350	47	150	1,2	3,8	18,5	50	4,1
400	47	150	1,2	4,4	18,5	60	4,2
200	100	330	2,2	1,0	20	22	3,1
250	100	330	2,2	1,3	20	32	3,4
300	100	330	2,2	1,65	20	42	3,5
350	100	330	2,2	1,95	20	52	3,6
400	100	330	2,2	2,3	20	63	3,7
200	220	680	3,9	0,52	21	19	2,3
250	220	680	3,9	0,67	21	29	2,6
300	220	680	3,9	0,83	21	38	3,0
350	220	680	3,9	0,99	21	47	3,1
400	220	680	3,9	1,15	21	58	3,2

ECC 40 Fig. 1

U_b	R_a	R_g	R_k	I_a	μ	$U_{a\approx}$	h
V	k Ω	k Ω	k Ω	mA	$U_{a\approx}/U_{g\approx}$	V	%
100	220	0,68	4,7	0,3	23	10	1,8
250	47	150	1,2	2,6	20	40	3,8
200	100	0,33	2,2	1,1	24	33	3,6
250	100	0,33	2,2	1,4	24	44	3,7
300	100	0,33	2,2	1,6	24	54	3,8
400	100	0,33	2,2	2,2	24	76	3,9
200	220	0,68	3,9	0,58	24	32	3,5
250	220	0,68	3,9	0,72	25	44	3,6
300	220	0,68	3,9	0,87	25	53	3,7
400	220	0,68	3,9	1,1	25	72	3,8

ECC 40 Fig. 2

U_b	R_a	R_g	I_a	μ	$U_{a\approx}$	h
V	k Ω	k Ω	mA	$U_{a\approx}/U_{g\approx}$	V	%
250	100	330	1,4	24	30	2,2
250	220	680	0,9	25	18	1,3

ECC 40 Fig. 7

U_b	I_a^I	I_a^{II}	μ	U	h
V	mA	mA	U/U_g	V	%
250	1,12	0,55	27	18	1
350	1,57	0,78	27	30	1

ECC 40 Fig. 5

U_b	R	I_a	μ	$U_{a\approx}$	h
V	k Ω	mA	$U_{a\approx}/U_{g\approx}$	V	%
250	100	2,5	740	30	1,9
250	220	2,0	780	18	1,2

ECC 40 Fig. 8

U_b	R	R_k	I_a	μ	U	h
V	k Ω	k Ω	mA	U_a/U_g	V	%
250	3,9	1	3	26	30	1,5
350	3,8	0,75	4,3	27,5	30	1,1

